

# Corrigé du DM 11

*pour le lundi 22 janvier 2024*

\*\*\*

**Métrologie de fréquences optiques**

\*\*\*

Reines de fréquences optiques

I2b-

Première partie:

I- longueur spectrale d'une raie lumineuse

1a- L'atome est supposé isolé: son mouvement est donc immédiat dans un référentiel galiléen. Si on assimile le mouvement du système {noyau + e-} au centre du noyau, on fait une approximation raisonnable ( $m_{\text{noyau}} \gg m_e$ ) qui permet de considérer que le noyau est fixe.

b-  $E_C = \frac{1}{2} m v^2 = \frac{1}{2} m A \omega_0^2 \sin^2(\omega_0 t)$

$E_P = \frac{1}{2} k ON^2 = \frac{1}{2} k A^2 \cos^2(\omega_0 t)$   
 or  $k = m \omega_0^2$  }  $E_P = \frac{1}{2} m \omega_0^2 A^2 \cos^2(\omega_0 t)$

ainsi  $E = E_C + E_P = \frac{1}{2} m \omega_0^2 A^2 (\sin^2 \omega_0 t + \cos^2 \omega_0 t)$

$E = \frac{1}{2} m \omega_0^2 A^2$

2a-  $\vec{p} = -e \vec{ON} = -e A(t) \cos \omega_0 t \vec{e}_y$

$\ddot{p}^2 = e^2 A^2(t) \omega_0^4 \cos^2 \omega_0 t$       $\langle \dot{p}^2 \rangle = \frac{1}{2} e^2 A^2(t) \omega_0^4$

d'où finalement  $\langle \dot{p} \rangle(t) = \frac{k_0 e^2 A^2(t) \omega_0^4}{4\pi c}$

2b-  $\frac{dE(t)}{dt} = -\langle \dot{p} \rangle(t)$  traduit le fait que l'énergie de l'oscillateur diminue par rayonnement.

$E(t) = \frac{1}{2} m \omega_0^2 A^2(t)$

et  $\langle \dot{p} \rangle(t) = \frac{k_0 e^2 \omega_0^4 A^2(t)}{4\pi c} = \frac{k_0 e^2 \omega_0^4}{4\pi c} \frac{2E(t)}{m \omega_0^2}$

$\langle \dot{p} \rangle(t) = \frac{k_0 e^2 \omega_0^2}{6\pi c m} E(t)$

$\frac{dE(t)}{dt} = - \frac{k_0 e^2 \omega_0^2}{6\pi c m} E(t)$

soit encore  $\frac{dE}{dt} + \frac{E}{\tau_0} = 0$

avec  $\tau_0 = \frac{6\pi c m}{k_0 e^2 \omega_0^2}$

$E(t) = E(0) \exp(-t/\tau_0)$

L'énergie de l'oscillateur décroît avec un temps caractéristique  $\tau_0$  qui correspond à la durée du train d'onde.

$E_{\text{émise}} = h\nu = E(0)$  par conservation de l'énergie.

Pour une onde plane progressive  $\langle \vec{\pi} \rangle \cdot \vec{v} = \frac{E_0^2}{2\mu_0 c}$  où  $E_0$  est l'amplitude du champ électrique.

Ainsi si la puissance est émise de façon isotrope,

$\langle \vec{\pi} \rangle \times 4\pi r^2 = \langle \dot{p} \rangle$   
 d'où  $\frac{E_0^2}{2\mu_0 c} \times 4\pi r^2 = \frac{k_0 \omega_0^2 e^2}{6\pi c m} E(t)$

$E(t)$  est maximale pour  $t=0$  et vaut alors  $E(0) = h$

$E_{0\text{max}} = \left( \frac{h\nu}{3m} \right)^{\frac{1}{2}} \frac{k_0 e \omega_0}{2\pi r}$

12d.

- $\lambda = 9 \text{ 192 631 710 Hz}$
- $\lambda = \frac{c}{\nu} \approx 3 \text{ cm}$  est dans le domaine des ondes radiofréquences (radio)

avec notre modèle  $Z = \frac{6\pi c m_e}{\mu_0 e^2 (2\pi \nu)^2} = 497.8$   
 c'est extrêmement long.

Pour un atome émettant dans le visible (par ex  $\lambda_0 = 500 \text{ nm}$ ) soit  $\nu_0 = \frac{c}{\lambda_0} = 6.10^{14} \text{ Hz}$  on aurait

$Z_0 \approx 11,2 \text{ ns}$   
 $E_{0 \text{ max}} \approx 46.10^5 \text{ V.m}^{-1}$  à  $r = 1 \text{ mètre}$

3) a.  $\Delta(t) = A_0 \exp(-\frac{t}{Z}) \cos(\omega_0 t) = \int_{-\infty}^{+\infty} \tilde{F}(\omega) \exp(i\omega t) d\omega$

ou  $\exp(-\frac{t}{Z}) = \frac{Z}{\pi} \int_{-\infty}^{+\infty} \frac{\exp(i\omega t)}{1+Z^2\omega^2} d\omega$  pour  $t > 0$

$\Delta(t) = A_0 \frac{Z}{\pi} \left( \int_{-\infty}^{+\infty} \frac{\exp(i(\omega+\omega_0)t)}{1+Z^2\omega^2} d\omega + \int_{-\infty}^{+\infty} \frac{\exp(i(\omega-\omega_0)t)}{1+Z^2\omega^2} d\omega \right)$

d'où on pose les changements de variable  $u = \omega + \omega_0$  et  $v = \omega - \omega_0$

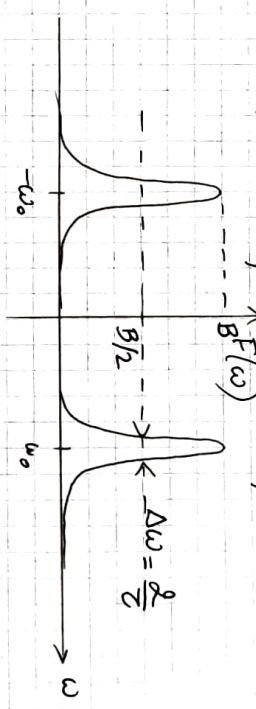
$\Delta(t) = \frac{A_0 Z}{2\pi} \left( \int_{-\infty}^{+\infty} \frac{\exp(iut) du}{1+Z^2(u-\omega_0)^2} + \int_{-\infty}^{+\infty} \frac{\exp(ivt) dv}{1+Z^2(v+\omega_0)^2} \right)$

On restaure  $\tilde{F}(\omega)$  de l'énoncé en posant:

$B = \frac{A_0 Z}{2\pi}$  et  $C = Z^2$

2

$\tilde{F}(\omega)$  est paire et présente un pic en  $\omega_0$  (et  $-\omega_0$ )



Pour  $\omega = \omega_0$   $\tilde{F} = B \left( 1 + \frac{1}{1+Z^2 4\omega_0^2} \right) \approx B = \frac{A_0 Z}{2\pi}$

$\Delta(t) = B \left( \int_{-\infty}^{+\infty} \frac{1}{1+C(\omega-\omega_0)^2} e^{i\omega t} d\omega + \int_{-\infty}^{+\infty} \frac{1}{1+C(\omega+\omega_0)^2} e^{i\omega t} d\omega \right)$

le change de variable  $\omega' = -\omega$  dans la deuxième intégrale conduit à :

$\Delta(t) = B \left( \int_{-\infty}^{+\infty} \frac{1}{1+C(\omega-\omega_0)^2} (e^{i\omega t} + e^{-i\omega t}) d\omega \right)$

soit  $\Delta(t) = \int_{-\infty}^{+\infty} F(\omega) \cos(\omega t) d\omega$  où

$F(\omega) = \frac{2B}{1+C(\omega-\omega_0)^2} = \frac{D}{1+C(\omega-\omega_0)^2}$

avec  $D = 2B = \frac{A_0 Z}{\pi}$

$\Delta(t) = \int_{-\infty}^{+\infty} F(\omega) \cos(\omega t) d\omega$  avec  $F(\omega) = \frac{A_0 Z / \pi}{1+Z^2(\omega-\omega_0)^2}$

$F(\omega) = \frac{F_{\text{max}}}{2}$  pour  $(\omega-\omega_0)^2 = \frac{1}{Z^2}$  soit  $\omega - \omega_0 = \pm \frac{1}{Z}$

La fonction  $F(\omega)$  est très étroite, pour  $\omega < 0$   $F(\omega) \approx 0$

$\Delta \omega_{\frac{1}{2}} = \frac{\gamma}{2} = 0 \quad \Delta \nu = \frac{\Delta \omega}{2\pi} = \frac{1}{\pi T}$

- I3c.
- Pour la raie étalon de l'atome de Ca  $\Delta \nu_{Ca} = \frac{1}{\pi \tau_0} = 6,5 \text{ Hz}$
  - Pour une raie dans le visible  $\Delta \nu_{visible} \approx 28 \text{ MHz}$   
soit  $L_{coh} = c \tau_0 \approx 3 \text{ m}$   
C'est une très grande longueur de cohérence, beaucoup plus grande que ce que l'on pouvait mesurer à l'aide d'un interféromètre de Michelson (au mieux quelques centimètres).
  - En TP on peut mesurer la longueur de cohérence de la lumière blanche, très faible,  $L \approx 3 \mu\text{m}$
  - pour une raie spectrale d'une lampe à vapeur de mercure, de l'ordre du mm

4 - Effet Doppler

4.a.  $\varphi(t) = \omega_0 (t - \frac{OD}{c})$   
On peut définir la pulsation instantanée par  $\omega(t) = \frac{d\varphi}{dt}$

1  
soit ici  $\omega(t) = \omega_0 - \frac{\omega_0}{c} \frac{dOD}{dt}$   
soit  $\frac{dOD}{dt} = -v \cos \alpha$   
2  
 $\omega(t) = \omega_0 (1 + \frac{v \cos \alpha}{c})$

4.b. Pour  $v_x = \frac{\Delta \nu_x}{2}$   $\omega = \omega_0 (1 + \frac{\Delta \nu_x}{2c})$

$v_x = \frac{-\Delta \nu_x}{2}$   $\omega = \omega_0 (1 - \frac{\Delta \nu_x}{2c})$

La largeur spectrale  $\Delta \nu$  est alors

2  
 $\Delta \nu = \frac{\Delta \omega}{2\pi} = \frac{\omega_0}{2\pi} \times \frac{\Delta \nu_x}{c}$   
 $\Delta \nu = \gamma_0 \frac{\Delta \nu_x}{c}$

4.c. le théorème d'équipartition de l'énergie donne :

1  
 $\langle \frac{1}{2} m \overline{v^2} \rangle = \frac{3}{2} k_B T \Rightarrow u = \sqrt{\langle v^2 \rangle} = \sqrt{\frac{3 k_B T}{m}}$   
ou  $\langle v^2 \rangle = \langle v_x^2 \rangle + \langle v_y^2 \rangle + \langle v_z^2 \rangle = 3 \langle v_x^2 \rangle$   
 $\Rightarrow \sqrt{\langle v_x^2 \rangle} = u_x = \sqrt{\frac{\langle v^2 \rangle}{3}} = \sqrt{\frac{k_B T}{m}} = u_x$

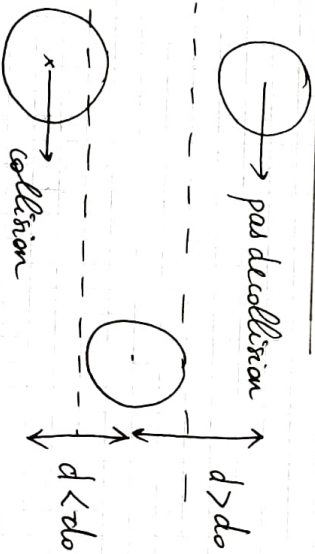
• Si on estime  $\Delta \nu_x = 2 u_x$ , on déduit  
 $\Delta \nu_{Dop} \approx 2 \gamma_0 \frac{u_x}{c} = 2 \gamma_0 \frac{1}{c} \sqrt{\frac{RT}{M_{H_2}}} \approx 800 \text{ MHz}$   
soit  $L_{coh} \approx \frac{c}{\pi \Delta \nu_{Dop}} \approx 12 \text{ cm}$   
c'est beaucoup plus faible que les 3m obtenus

précédemment pour la largeur intrinsèque de la raie mais c'est encore beaucoup plus grand que la longueur de cohérence que l'on mesure en TP

- Pour l'étalon de fréquence à 300K  
 $\Delta\nu_{Dop} \approx 8,4 \text{ kHz}$  ( $M(Ca) = 133 \text{ g/mol}$ )

Pour ramener la largeur spectrale à 100Hz, il faut refroidir la vapeur à 43mK. 100Hz est encore bien supérieur à la précision avec laquelle est donnée la fréquence étalon: il faut refroidir encore plus!

### 5- Interactions entre atomes



Si l'atome incident est dans un cylindre de base  $\sigma = \pi d_0^2$ , il entre en collision avec l'atome cible.  $\sigma$  est la section efficace de collision.

### 5b-

Par définition du libre parcours moyen  $l$ , un atome subit en moyenne une collision après avoir parcouru la distance  $l$ . Il a alors balayé un volume  $l\sigma = \frac{1}{n}$

$$l \approx \frac{1}{n\sigma}$$

$\uparrow$  1 atome cible dans ce volume.

$$\tau_{coll} \approx \frac{l}{u} \approx \frac{1}{n\sigma} \sqrt{\frac{m}{3k_B T}} \Rightarrow \tau_{coll} \approx \frac{k_B T}{\sigma P} \sqrt{\frac{M}{RT}}$$

or  $P = nk_B T$

$$\tau_{coll} \approx \sqrt{\frac{MRT}{3}} \frac{1}{\sigma \sqrt{N_A} P}$$

$\Delta\nu_{coll} \approx \frac{1}{\pi \tau_{coll}}$  (avec la m relation que pour la largeur intrinsèque).

Pour une lampe à vapeur de mercure haute pression ( $P = 3 \text{ bar}$ ) à  $T = 1000 \text{ K}$ , on obtient

$$\Delta\nu_{coll} \approx 1,9 \text{ GHz} \quad l_{coll} \approx c \tau_{coll} \approx 5 \text{ cm}$$

c'est encore un ordre de grandeur au dessus de la valeur expérimentale

L'effet principal de l'élargissement des raies pour la lampe à vapeur de mercure haute pression est celui des chocs, vient ensuite l'effet Doppler mais la largeur intrinsèque est bien à fait négligeable.

## Deuxième partie

### I source lumineuse cohérente : le laser

1) - Le milieu est amplificateur si  $\alpha(\omega) > 0$   
 b. Le régime permanent est possible si :

- Les pertes sur le miroir  $R_2$  sont compensées par l'amplification dans le milieu sur un aller-retour
- $$(1-\epsilon) \exp(2\alpha L) = 1 \quad (C_2)$$

• Les conditions aux limites sur les miroirs  $R_1$  et  $R_2$  sont vérifiées

$$\begin{cases} \delta^+(0, t) = \delta^-(0, t) & (=) \quad |a^+ = a^- \\ \delta^-(L, t) = (1-\epsilon) \delta^+(L, t) & \left\{ \begin{array}{l} \bar{a} \exp(-\alpha(L+i\kappa)L) = (1-\epsilon) \bar{a} \exp(\alpha(L-i\kappa)L) \end{array} \right. \end{cases}$$

$$\begin{aligned} &= 0 \quad (1-\epsilon) = \exp(-2\alpha L + 2i\kappa L) \\ &= 0 \quad \underbrace{\epsilon}_{\in \mathbb{R}^+} \end{aligned}$$

soit  $\begin{cases} 2\alpha L = 2p\pi & p \in \mathbb{N}^* & (=) \quad L = p \frac{L}{2n} \quad p \in \mathbb{N}^* \\ \text{et} & & (C_1) \end{cases}$   
 et  $\boxed{1-\epsilon = \exp(-2\alpha L)}$  : on retrouve la condition (C2)

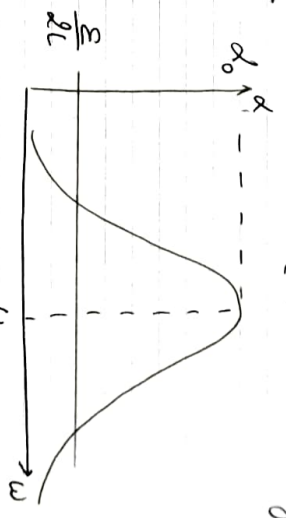
c. La condition (C1)  $L = p \frac{L}{2n}$  ne peut être

réalisée que pour certains longueurs d'onde. Si le rayonnement n'est pas monochromatique, ce ne pourra être que pour un ensemble discret de longueurs d'onde données par  $\lambda_p = 2nL/p$ . Pour que (C2) soit également réalisé, il faudrait que  $\alpha(\omega_p) \times p = c$  soit  $\alpha(\omega_p) = K \omega_p$  qui est peu probable (ce n'est pas le cas étudié de (C1c)).

• En réalité, la réflexion sur un conducteur n'est se fait avec un déphasage, non pris en compte ici  $\rightarrow$  la condition (C1) devient moins stricte et on a alors, une raie résonante, de facteur de qualité élevé, qui sélectionne les modes donnés par (C1) mais avec une certaine largeur spectrale. (ex corde de violon)  
 On peut assimiler ce système à un passe-bande très résonant (circuit RLC).

• De plus il y a des effets non linéaires non pris en compte ici qui, lorsque l'amplitude devient très importante vont entraîner en jeu, ainsi dans la suite on transforme (C2) en une inégalité

$$1. d. \quad L 2\alpha(\omega) \geq \epsilon$$



Les modes possibles doivent vérifier  $\alpha \geq \frac{\epsilon}{2L}$

$$\Rightarrow \alpha_0 \exp\left(-\left(\frac{\omega - \omega_0}{\Delta\omega}\right)^2\right) \geq \frac{\epsilon}{2L}$$

$$\left(\frac{\omega - \omega_0}{\Delta\omega}\right)^2 \leq \ln\left(\frac{2L\alpha_0}{\epsilon}\right)$$

or (C1) impose  $n 2 \omega_p L = 2p\pi \quad \Rightarrow \quad \omega_p = 2\pi \frac{c}{2nL}$

$$\omega_0 - \Delta\omega \sqrt{\ln\left(\frac{2L\alpha_0}{\epsilon}\right)} \leq 2\pi \frac{c}{2nL} p \leq \omega_0 + \Delta\omega \sqrt{\ln\left(\frac{2L\alpha_0}{\epsilon}\right)}$$

Le nombre de valeurs de  $p$  est, à un près

$$N = \left\lfloor m L \frac{2\Delta\nu}{\pi c} \sqrt{\ln\left(\frac{2\Delta\nu}{\varepsilon}\right)} \right\rfloor$$

AN. pour  $mL = 1,5 \text{ m}$ ,  $\frac{\Delta\nu}{2\pi} = 500 \text{ MHz}$ ,  $\varepsilon = 0,01$   
 $\nu_0 = 5 \cdot 10^{14} \text{ Hz}$   
 on obtient  $N = 11$  modes

2. a.  $\Delta\nu = \nu_{pm} - \nu_0 - \frac{c}{2nL} = 100 \text{ MHz}$  } la cavité est monomode  
 or  $\nu_2 - \nu_1 = 80 \text{ MHz}$

b. La condition d'accord à écart  $\nu_2 = p \times \frac{c}{2nL}$  on peut modifier  $\nu$  en modifiant  $L$ .

$$\Delta\nu = \frac{\delta n L}{m L}$$

En prenant  $\nu = \nu_0 = 5 \cdot 10^{14} \text{ Hz}$  et  $\Delta\nu = 5 \cdot 10^6 \text{ Hz}$

$$\frac{\Delta\nu}{\nu} = 10^{-8}$$

$$\Rightarrow \frac{\delta n L}{m L} = 10^{-8} \Rightarrow \frac{\delta n L}{m L} \approx 1,5 \cdot 10^{-8} \text{ m} = 15 \text{ nm}$$

C'est un très très faible déplacement. On peut utiliser des matériaux piézoélectriques pour activer de tels déplacements.

c.  $\delta n L = 15 \text{ nm}$  (cf question précédente). Les fluctuations thermiques de la longueur de la cavité doivent être limitées

3)

$$u(t) = K' \langle I(t) \rangle_{T_R} \quad \text{ou} \quad I(t) = \sum \sum^*$$

$$\nu_1 = \nu_0 \cos(\omega_1 t + \varphi_1(t)) \quad \nu_2 = \nu_0 \exp(j(\omega_1 t + \varphi_1(t)))$$

$$\nu_2 = \nu_0 \cos(\omega_2 t + \varphi_2(t)) \quad \nu_2 = \nu_0 \exp(j(\omega_2 t + \varphi_2(t)))$$

$$I = \sum \nu_1 + \nu_2 = 2\nu_0 \left[ \exp(j(\omega_1 t + \varphi_1)) + \exp(j(\omega_2 t + \varphi_2)) \right]$$

$$I = 2 \sum^* = 2 \nu_0 \sum^* (1 + \cos((\omega_1 - \omega_2)t + \varphi_1(t) - \varphi_2(t)))$$

Détecteur rapide:  $T_R \sim 1 \text{ ns}$

$$(\omega_1 - \omega_2) T_R = 2\pi (\nu_1 - \nu_2) T_R = 2\pi \times 100 \cdot 10^6 \times 10^{-9} = 0,1 \times 2\pi$$

Le détecteur rapide peut suivre l'évolution de  $I(t)$  (10 points par période) et donc voir que le laser est bimode.

$$u = 2\nu_0 (1 + \cos(2\pi \delta\nu t + \varphi_1(t) - \varphi_2(t)))$$

à condition que  $\varphi_1 - \varphi_2$  varie sur un temps  $\gg T_R$

Dans cette partie, les  $\neq$  modes sont supposés parfaitement monochromatiques donc  $\varphi_1 - \varphi_2 = c \cdot t$

Détecteur lent:  $T_R \sim 1 \mu\text{s}$

$$u(t) = 2\nu_0$$

4- Pour N modés, le même calcul va donner

- pour un détecteur lent  $u = N u_0$
- pour un détecteur rapide

$$u(t) = u_0 (N + 2 \sum_{p=1}^{p_2} \sum_{q=1}^{p_1} \cos((\omega_p - \omega_q)t + \varphi_{pq}))$$

S.c.

Pour N grand, certains de ces termes sont de valeur moyenne nulle ( $p-q > 10$ )

On aura donc ici des fluctuations faibles autour de la valeur moyenne avec une fréquence d'oscillation de  $\delta \nu$  (et ses multiples).

Le capteur en faisant la moyenne, réalise une sorte de filtre passe-bas, les hautes fréquences étant gommées par cette opération de moyennage.

$$P_1 \delta \nu = \frac{c}{\lambda_1} \Rightarrow P_1 = \frac{\delta \nu \lambda_1}{c} = 3,44 \cdot 10^6$$

$$\delta \nu = \frac{c}{\delta \nu \lambda_1}$$

De même  $P_2 = \frac{\delta \nu \lambda_2}{c} = 3,95 \cdot 10^6$

$$N = 1 + P_2 - P_1 = 4,8 \cdot 10^5 \text{ modés} \gg 1$$

- Lorsque toutes les ondes sont en phase  $\Delta = N \lambda_0$
- Ceci se produit à  $t=0$  puis aux instants tels que  $\forall p \in \mathbb{I} P_1, P_2 \mathbb{I} \quad p \delta \omega t = 2\pi k$  avec  $k \in \mathbb{Z}$

$$((p+1) - p) \delta \omega t = 2\pi q \text{ avec } q \in \mathbb{N}$$

$$t_q = q \frac{2\pi}{\delta \omega} = \boxed{q \times \frac{\delta \nu \lambda_1}{c} = t_q} \quad q \in \mathbb{Z}$$

$$g(t) = G(t) \cos(\omega_0 t)$$

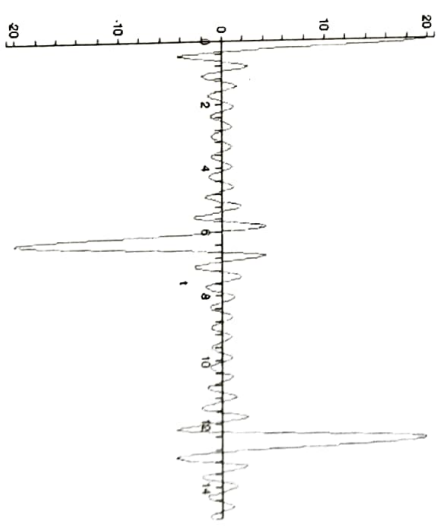
avec  $G(t) = \frac{\sin(N \delta \omega t)}{\sin(\delta \omega t)}$  (on reconnaît la fonction sinc)

$G(t)$  varie lentement,  $\cos$  varie rapidement

$$G_{\max} = N \lambda_0 \text{ pour } \delta \omega t = q\pi \Rightarrow t = q \frac{2\pi}{\delta \omega}$$

on retrouve bien sur le résultat de la question précédente.

L'allure de  $G(t)$  est la suivante (pour  $N = 20$  et  $\delta \omega = 1 \text{ s}^{-1}$ ):





1) à annuler la première fois pour  
 $N \frac{d\omega}{d\omega} t = \pi$   
 $t = \frac{\pi}{N \frac{d\omega}{d\omega}}$

$\Delta t = 2 \times \frac{d\omega}{N d\omega} = \frac{2}{N} \times \frac{2\pi L}{c}$

$\Delta t = \frac{4\pi L}{Nc}$

A.N.  $\Delta t = 4,2 \cdot 10^{-14} s = 42 fs$

fréquence de répétition  $\frac{1}{t_{\text{rep}} - t_{\text{g}}} = \frac{c}{2L} = 100 \text{ MHz} = \nu_{\text{imp}}$

Le nombre de périodes dans une impulsion est

$n_{\text{périodes}} = \frac{\Delta t}{T} = \frac{2\pi \Delta t}{N \frac{d\omega}{d\omega}} \times \frac{\omega_0}{2\pi} = \frac{2}{N} \frac{\omega_0}{\frac{d\omega}{d\omega}} = \frac{2\pi R \Delta t}{N} = 7,7$

Il n'y a que quelques périodes par impulsion.

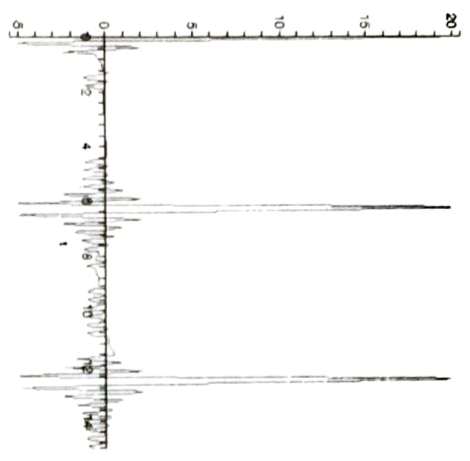
On a ainsi des impulsions ultracourtes (42 fs)

qui se répètent toutes les  $10^{-8} s = 10 ns$

Ce n'est pas contre plus monochromatique du tout

1

et celle de s(1) lui ressemble, en plus tournée (et les pics étant « redressés »):



Troisième partie

III - Méthologie des fréquences optiques

- 1) Spectroscopie à graine, à réseau
- mesure de  $\lambda$  avec un interféromètre de Michelson

Comme dans la partie précédente, le détecteur n'est capable de voir les variations d'intensité dues à la différence des fréquences que si

$|\nu_1 - \nu_2| \ll \frac{1}{\tau_R}$

3)

$\tau_R = 1 ns$   
 Les impulsions ultracourtes arrivent toutes les 10 ns : le détecteur est donc assez rapide pour résoudre temporairement ces impulsions.

On reprend la condition vue précédé :

$\nu_{\text{imp}} = \frac{c}{2L}$

$\frac{\delta \nu_{\text{imp}}}{\nu_{\text{imp}}} = \frac{\delta L}{L}$

ici  $\frac{\delta \nu_{\text{imp}}}{\nu_{\text{imp}}} = \frac{1}{10^8} = 10^{-8}$

On doit donc maintenir  $L$  constant à  $10^{-8} m$  près  
 $10^{-8} \times 1,5 = 1,5 \cdot 10^{-8} m = 15 nm$

Il faut une telle taille de rétroaction !

2

$\nu = (385\ 285\ 400 \pm 40) \text{ MHz}$

$\Delta \nu_{\text{imp}} = 100 \text{ MHz}$

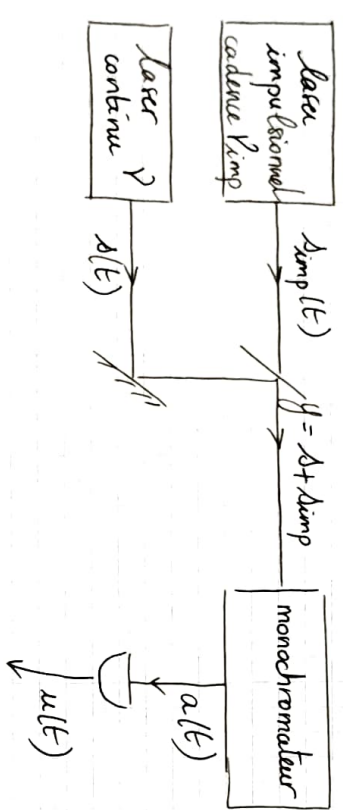
$\nu = 385\ 2851 \nu_{\text{imp}} + 940 \nu_{\text{imp}} \pm 940 \nu_{\text{imp}}$

$\nu_{\text{max}} = 3\ 852\ 851 \nu_{\text{imp}} + 0,8 \nu_{\text{imp}} = (385\ 2852 - 0,2) \nu_{\text{imp}}$

$\nu_{\text{min}} = 3\ 852\ 851 \nu_{\text{imp}}$

Les 2 entiers qui conviennent sont donc

$\nu_0 = 385\ 2851$   
 $\Delta \nu = \nu_0 + 1$



Sur le principe, l'idée est la même que pour la numérisation d'un signal analogique. Le laser impulsionnel fournit des impulsions, séparées de  $T_{\text{imp}} = \frac{1}{\nu}$  - 10ns : c'est l'équivalent de la période  $\nu_{\text{imp}}$  d'échantillonnage.

La multiplication des deux signaux se fait ici dans le photodétecteur qui donne un signal  $x < (\Delta \nu T_{\text{imp}})^2 \gg_{\text{ca}}$

$$s_{\text{imp}}(t) = A_0 \sum_{p=p_1}^{p_2} \cos(p \omega t) \Rightarrow s_{\text{imp}} = A_0 \sum_{p=p_1}^{p_2} \exp(j p \omega t)$$

$$a(t) = A_1 \cos(p_0 + \gamma) \delta \omega t + A_2 \exp(j(p_0 + \gamma) \delta \omega t)$$
  
car  $A_2 = A_1 \exp(j\varphi$

$$\Delta + s_{\text{imp}} = A_0 \sum_{p=p_1}^{p_2} \exp(j \delta \omega t p) + A_1 \exp(j(p_0 + \gamma) \delta \omega t)$$

\* Le monochromateur ne laisse passer que :

- $A_0 \exp(j p_0 \delta \omega t)$  du signal du laser impulsionnel
- $A_1 \exp(j(p_0 + \gamma) \delta \omega t)$  du laser continu

$$I(t) = |A_0 \exp(j p_0 \delta \omega t) + A_1 \exp(j(p_0 + \gamma) \delta \omega t)|^2$$
  

$$= A_0^2 + |A_1|^2 + 2 A_0 A_1 \cos(\gamma \delta \omega t + \varphi)$$

$I(t)$  est périodique de période  $T = \frac{2\pi}{\gamma \delta \omega}$   
 $T = \frac{1}{\gamma \nu_{\text{imp}}} = \frac{T_{\text{imp}}}{\gamma} \gg_{\text{ca}}$

$\Rightarrow a(t)$  est un signal périodique de période  $T = \frac{1}{\gamma \nu_{\text{imp}}}$ , soit de fréquence  $\gamma \nu_{\text{imp}}$

La mesure de  $T$  donne ?  
 Règle :  $a(t) = K' < I(t) \gg_{\text{ca}} = K' I(t)$

\* Le monochromateur laisse passer d'autres composantes spectrales de  $s_{\text{imp}}$

$$a(t) = A_0 \exp(j(p_0 + \gamma) \delta \omega t) + A_0 \sum_{q=-2}^2 \exp(j(p_0 + \gamma) \delta \omega t)$$

$$I(t) = \frac{a}{2} \alpha^* = |A_1|^2 + (2A_1) \sum_{q=-\infty}^{\infty} \cos(\eta+q) \delta(t)$$

$$I(t) = A_1^2 + (2A_1) \delta_0^2 + 2A_1 A_1 \cos(\eta \delta_{\text{tot}} + \varphi) + 2A_1 \times \sum_{\substack{q=-\infty \\ q \neq 0}}^{\infty} \cos(\eta+q) \delta_{\text{tot}} + \varphi$$

période  $T = \frac{T_{\text{imp}}}{\eta}$

les derniers termes ont des périodes

$$\begin{cases} T_q = \frac{T_{\text{imp}}}{\eta+q} \\ T_{-q} = \frac{T_{\text{imp}}}{q-\eta} \end{cases} \text{ pour } q > 0$$

$a(t) = K' < I(t) >_{T_c}$  : les composantes de  $I(t)$

pour lesquelles  $T_q < T_c$  sont moyennés  
 les autres sont partiellement moyennés aussi.

(cf (II.4)) le photodétecteur réalise un filtrage passe-bas et  $T_c = 1/\nu_s = \frac{T_{\text{imp}}}{10}$   
 le signal  $a(t)$  contient ainsi les composantes spectrales de fréquences:

- nulle  $K' (A_1^2 + (2A_1) A_1 \delta_0^2)$
  - $1/\eta$   $\nu_{\text{imp}}$   $K' 2A_1 A_1 \cos(\eta \delta_{\text{tot}} + \varphi)$
  - $(1-\eta) \nu_{\text{imp}}$   $\sim K' 2A_1 A_1 \cos((1-\eta) \delta_{\text{tot}} + \varphi)$
  - $(1+\eta) \nu_{\text{imp}}$   $\vdots$
  - $(2-\eta) \nu_{\text{imp}}$   $\vdots$
  - $(2+\eta) \nu_{\text{imp}}$   $\vdots$
  - $(10-\eta) \nu_{\text{imp}}$   $\vdots$
  - $(10+\eta) \nu_{\text{imp}}$   $\vdots$
- amplitude beaucoup + faible

$|\eta| < \frac{1}{2}$  c'est le signal de plus faible fréquence qui est celui qui nous intéresse.  
 Une analyse spectrale du signal  $a(t)$  nous permet d'obtenir  $\eta$ .

A.N. :

$$\begin{cases} (30 \pm 1) \text{ MHz} = |\eta| \nu_{\text{imp}} = \nu_1 = 0 & \eta = (0,30 \pm 0,01) \\ (70 \pm 1) \text{ MHz} = (1-\eta) \nu_{\text{imp}} = \nu_2 & \text{ou } \eta = -0,30 \pm 0,01 \end{cases}$$

or la mesure précédente a donné

$$\begin{aligned} \nu &> 3\ 852\ 851\ \nu_{\text{imp}} \\ \nu &< 3\ 852\ 851,8\ \nu_{\text{imp}} \end{aligned}$$

donc les deux fréquences possibles sont

$$\begin{aligned} \nu^- &= (3\ 852\ 851 + 0,3 \pm 0,01) \nu_{\text{imp}} \\ \nu^+ &= (3\ 852\ 852 - 0,3 \pm 0,01) \nu_{\text{imp}} \end{aligned}$$

que l'on peut aussi écrire

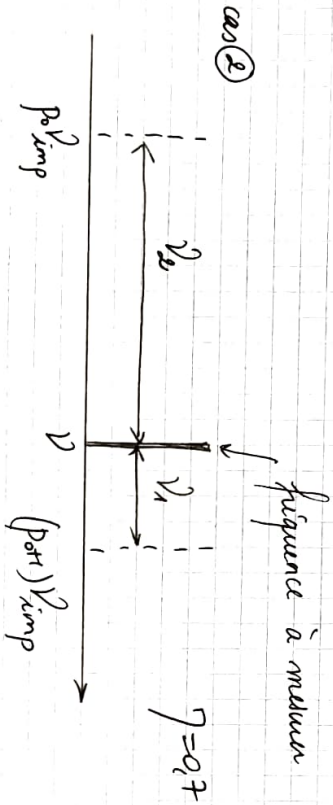
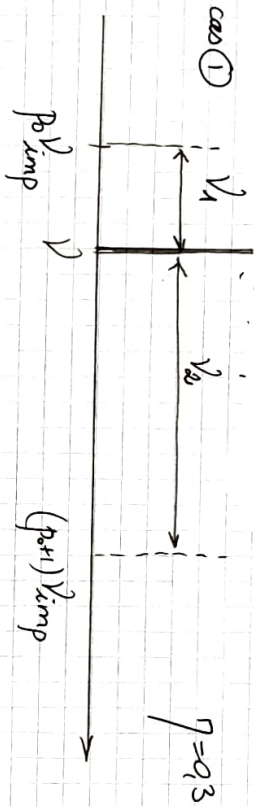
$$\begin{aligned} \nu^- &= (p_0 + 0,3 \pm 0,01) \nu_{\text{imp}} \\ \nu^+ &= (p_0 + 0,7 \pm 0,01) \nu_{\text{imp}} \end{aligned}$$

si le monochromateur a été réglé pour laisser passer ce qui est autour de  $p_0$ , ceci revient à dire qu'on cherche  $\nu = (p_0 + \eta) \nu_{\text{imp}}$  avec  $0 < \eta < 0,8$

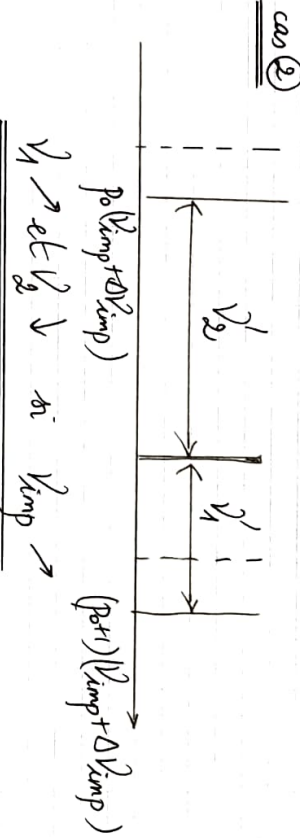
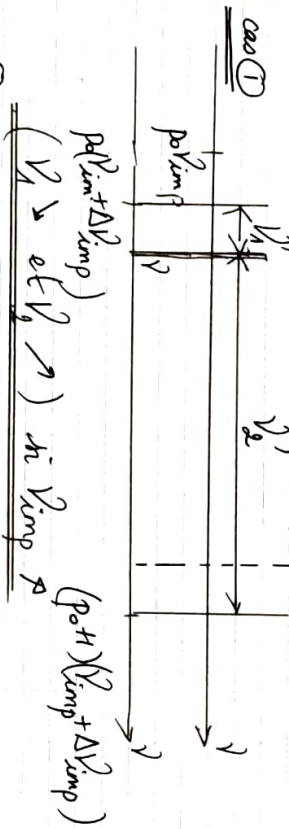
on a maintenant une ambiguïté entre

$$\begin{aligned} \eta &= 0,3 \\ \text{et } \eta &= 0,7 \end{aligned}$$

soit entre les deux dents "du" peigne soit à  $0,3 \nu_{imp}$  de la dent de gauche, soit à  $0,3 \nu_{imp}$  de celle de droite.



Si  $\nu_{imp}$  augmente très légèrement,  $\nu$  reste entre  $po \nu_{imp}$  et  $(pot+1) \nu_{imp}$



On conclut que, comme ici  $\nu_1 \downarrow$  et  $\nu_2 \rightarrow$  on est dans le cas ① ie  $\nu = 0,3$  et finalement

$$\nu = (3852851,3 \pm 0,01) \times 100 \text{ MHz}$$

$$\boxed{\nu = (385285130 \pm 1) \text{ MHz}}$$

On est parti d'une incertitude de  $\pm 40 \text{ MHz}$  à  $1 \text{ MHz}$ , on a donc gagné un facteur 40 en précision.  
Magnifique!